



## การศึกษาอิทธิพลตัวแปรการเชื่อมแม็กต์สมบัติทางกลและโครงสร้างจุลภาค

ของรอยต่อเทเลอร์แบล็อกเหล็กกล้าคาร์บอนเกรด SPCEN

Influence of Metal Active Gas Welding on SPCEN Steel Tailored Blank Joint Properties

สมศักดิ์ เชาวลิติ<sup>1\*</sup> สถาพร ทองวิค กิตติพงษ์ กิมพงษ์<sup>3</sup><sup>1,2</sup>ภาควิชาวิศวกรรมเครื่องกล คณะวิศวกรรมศาสตร์ มหาวิทยาลัยเทคโนโลยีราชมงคลรัตนบุรี  
อําเภอรัตนบุรี จังหวัดปทุมธานี รหัสไปรษณีย์ 12110<sup>1,3</sup>ภาควิชาวิศวกรรมอุตสาหการ คณะวิศวกรรมศาสตร์ มหาวิทยาลัยเทคโนโลยีราชมงคลรัตนบุรี  
อําเภอรัตนบุรี จังหวัดปทุมธานี รหัสไปรษณีย์ 12110E-mail: [Somsak.cha@thaisummit.co.th](mailto:Somsak.cha@thaisummit.co.th)

## บทคัดย่อ

บทความนี้ มีจุดประสงค์เพื่อประยุกต์การเชื่อมแม็ก ใน การเชื่อม รอยต่อชิ้นแผ่นเทเลอร์แบล็อกของเหล็กกล้าคาร์บอนเกรด SPCEN และทำการศึกษาตัวแปรการเชื่อมที่เหมาะสม เช่น กระแสไฟในการเชื่อม ความเร็วในการเดินแนวเชื่อม ที่มีผลต่อ สมบัติทางกลของชิ้นงานหลังผ่านกระบวนการเชื่อมแบบแม็กโดย ใช้วิธีการต่อชิ้น ผลจากการทดลองโดยสรุปพบว่า การเปลี่ยนแปลง กระแสไฟ และความเร็วในการเดินแนว ส่งผลกระทบต่อความ สมบูรณ์ของแนวเชื่อมรวมไปถึงความแข็งแรง และจากผลการ ทดสอบหาสมบัติทางกล ด้วยการทดสอบค่าการด้านแรงดึงและการ ทดสอบความแข็ง พนวณค่าสภาวะที่เหมาะสมสำหรับใช้ในการ เชื่อมเทเลอร์แบล็อกเหล็กกล้าคาร์บอนเกรด SPCEN ที่ความหนา 1.0 มิลลิเมตร และ 1.2 มิลลิเมตร ใช้กระแสไฟเชื่อม เท่ากัน 70 แอมป์ ความเร็วในการเชื่อม 70 มิลลิเมตรต่อนาที ซึ่งสามารถ วัดค่าแรงดึงสูงสุดที่ 698.1 MPa และความแข็งของแนวเชื่อมสูงสุด 243.7 ซึ่งเป็นเรื่องดีก็คงข้องแนวเชื่อม และจะมีค่าความแข็ง บริเวณเขตอิทธิพลความร้อน (HAZ) 215.6 และจะมีความแข็ง ลดลงในบริเวณเนื้อโลหะงาน (BM) ตามลำดับ ค่าหลักการเชื่อมแม็ก; แผ่นเทเลอร์แบล็อก; เหล็กกล้าคาร์บอน

## 1. บทนำ

ปัจจุบันในกลุ่มธุรกิจอุตสาหกรรมการผลิตรอยต่อได้มีการ พัฒนาและนำเอากลไนโลยีต่างๆเข้ามาประยุกต์ใช้โดยมี แรงผลักดันมานาจาก ข้อบังคับในด้านสิ่งแวดล้อม ความปลอดภัย และ การอนุรักษ์พลังงาน หนึ่งในวิธีที่สามารถทำให้บรรลุจุดประสงค์ ตามข้อบังคับที่กำหนด อุตสาหกรรมการผลิตรอยต่อได้ทดลองใช้ วิธีการต่างๆมากมาย แต่วิธีการที่ทำให้เกิดผลที่ดีที่สุด คือความ พยายามในการลดน้ำหนักโดยรวมของรอยต่อให้น้อยลงซึ่งจะ สามารถทำให้เครื่องยนต์ทำงานเต็มประสิทธิภาพ และประหยัด เชื้อเพลิง [1] ที่ผ่านมาต้องย่างการลดน้ำหนักของรอยต่อให้ได้ หลักวิธีการ เช่น การนำเอารัสตุโพลิเมอร์มาใช้ในโครงสร้าง รอยต่อแต่ข้อเสียของโพลิเมอร์ที่นำมาใช้มีเพียงเทียบกับโลหะ

แล้วยังมีสมบัติทางกลบางด้านที่ด้อยกว่าโลหะ รัสตุประกอบ (Composite material) [2] ในกลุ่มของโลหะมีการนำรัสตุมาหลอม ตัวเข้ามาแทนที่โลหะเดิม เช่น การนำอาโอโซมิเนียมผสมเข้าแทนที่ ชิ้นส่วนที่ทำจากเหล็ก ซึ่งส่งผลทำให้น้ำหนักโครงสร้างโดยรวม ลดลง และทำให้โครงสร้างของรอยต่อนั้นมีความยืดหยุ่นเพิ่มมาก ขึ้น [1] หรือบางกรณีมีการนำเอารัสตุนิดเดียวทั่วที่มีความบาง กว่ามาเชื่อมต่อเข้ากับรัสตุที่มีความหนา หรือที่เรียกว่า เทเลอร์ แบล็อก (Tailored blank) ซึ่งทำให้น้ำหนักของโครงสร้างลดลง แต่ ความแข็งแรงของโครงสร้างมีต่ำกว่ารัสตุเดียวทั่วเดิม [3] ตัวอย่างการใช้รอยต่อเทเลอร์แบล็อก เช่น การผลิตชิ้นส่วนประตู รอยต่อ เสาอากาศ โครงรอยต่อ โครงหน้าต่าง ซึ่งในกระบวนการ ผลิตนั้นใช้วัสดุคุณภาพดี 2 ชิ้นที่มีความหนาต่างกันเพื่อการลด น้ำหนักของตัวรอยต่อและลดดัชนีคุณภาพในการผลิต โดยในการผลิต เหล็กแผ่นที่มีความหนาต่างกันจะถูกเชื่อมเข้าเป็นชิ้นงานเดียวทั่ว ก่อนนำไปประกอบเป็นโครงสร้างของรอยต่อ โดยชิ้นงานที่ผ่าน กระบวนการเชื่อมแล้ว ต้องผ่านการตรวจสอบแนวเชื่อมเป็นที่ ยอมรับตามมาตรฐานการผลิตรอยต่อ [3] อย่างไรก็ตามการเชื่อม รัสตุเทเลอร์แบล็อกนั้นมีความยากลำบาก เนื่องจากรัสตุมีค่าการ ถ่ายเทความร้อนแตกต่างกัน ดังนั้นวิธีการเชื่อมที่สามารถควบคุม การถ่ายเทความร้อนได้ง่าย จึงมีถูกคิดค้นและประยุกต์ใช้เพื่อนำมา ท้าเชื่อมรัสตุเทเลอร์แบล็อกอย่างต่อเนื่อง

ในการเชื่อมรอยต่อเทเลอร์แบล็อกนั้นมีร่วงงานการเชื่อม ด้วยวิธีการต่างๆ หลักวิธี [4] เช่น การเชื่อมรอยต่อชิ้นตัวเลือร์ เชอร์ เป็นการเชื่อมแบบเต็ม (Full penetration) ซึ่งสามารถเชื่อม ให้ได้รอยเชื่อมที่มีอัตราส่วนของความลึกต่อความหนาสูง ดังนั้นวิธี นี้จึงสามารถเชื่อมได้แนวเชื่อมที่ลึกและแคบ อัตราการเย็บตัวของ แนวเชื่อมที่สูงมาก ทำให้ได้ความแข็งของรอยเชื่อมที่สูงกว่าการ เชื่อมด้วยวิธีความด้านทาน การเชื่อมรอยต่อโดยวิธีลูกริด ซึ่งต้องอาศัยรอยเชื่อม ที่ต่อเหลือมีน้ำหนักนิดเดียวเหล็กเข้าด้วยกันขณะที่ปล่อยกระแสไฟฟ้า ให้ผ่าน ได้แนวเชื่อมที่กว้างกว่าการเชื่อมด้วยเลเซอร์เล็กน้อย การเชื่อมแบบการเหนี่ยวนำความถี่สูงเป็นการเชื่อมแบบต่อชิ้นใช้



สำหรับงานเหล็กแผ่นการเชื่อมทำโดยน้ำเหล็กแผ่น 2 แผ่นมากดเข้าหากัน ตรงขอบด้วยตัวยึดตลอดแนวความยาวของเหล็กแผ่น และหน้าสัมผัสของชิ้นงานจะถูกกดด้วยแรงอัดในระหว่างการเชื่อม ซึ่งเหล็กจะหลอมดิกกันบัดจุบันมีการใช้สำหรับงานเชื่อมที่มีความยาวของแนวเชื่อมสูง 1 เมตรอย่างเชื่อมที่ได้จะมีความสูงกว่าความกว้างของเหล็กแผ่นประมาณ 50% ซึ่งต้องทำการตัดออกภายหลัง การเชื่อม การเชื่อมด้วยล้าและส่องอิเล็คตรอนเป็นการเชื่อมแบบหลอมละลายเช่นเดียวกับวิธีอื่นๆ โดยทั่วไปใช้กำลังไฟฟ้าประมาณ 25 – 35 กิโลวัตต์ ริชีน์เหมาะสมสำหรับการเชื่อมวัสดุที่หนา มีความกว้างรอยเชื่อมล้ำแสงอิเล็คตรอน 1.5 มิลลิเมตร บริเวณแนวเชื่อมรวมกับบริเวณพื้นที่ผลกระแทบข้อนเท่ากับ 3.5 มิลลิเมตรและเมื่อเปรียบเทียบกับการเชื่อมด้วยเลเซอร์พบว่า การเชื่อมล้ำแสงอิเล็คตรอน สามารถเชื่อมได้โดยที่มีระยะห่างของแผ่นโลหะ(Gap) มากกว่าการเชื่อมด้วยเลเซอร์เล็กน้อย นอกจากนี้ยังทำการเชื่อมได้เร็วกว่าและประหยัดพลังงานอิเล็คตรอน คือจำเป็นต้องมีอุปกรณ์มีองค์กัน การแร้งสี เอ็กซ์ที่เกิดขึ้นในระหว่างการเชื่อม

ด้วยข้อมูลการเชื่อมที่กล่าวมาพบว่าในอุตสาหกรรมการผลิตรถยนต์นั้นใช้วิธีการเชื่อมอาร์คโลหะแก๊สปักคลุ่ม (Gas Metal Arc Welding: GMAW) ในการเชื่อมเหล็กและอลูминียมต่อของแผ่นโลหะน้อยมาก ด้วยเหตุผลนี้ผู้วิจัยจึงมีแนวคิดในการประยุกต์ใช้วิธีการเชื่อมอาร์คโลหะแก๊สปักคลุ่มในการเชื่อมรอยต่อชนวนระหว่างเหล็กกล้าคาร์บอนต่ำ และทำการศึกษาอิทธิพลการเชื่อมต่างๆที่มีผลต่อสมบัติและโครงสร้างของแนวเชื่อมต่อไป

## 2. วิธีการทดลอง

ตารางที่ 1 ตารางส่วนผสมทางเคมี

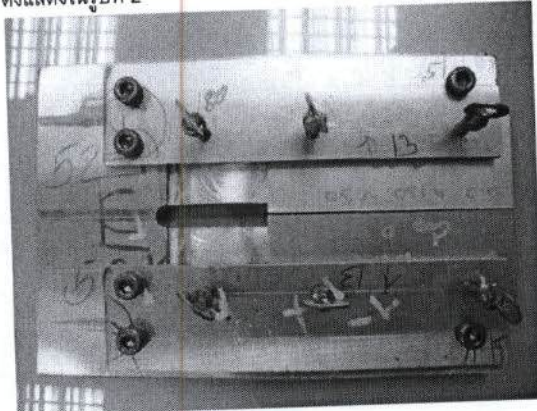
ความหนา (mm.)	Chemical Composition			
	C	Si	P	S
1.0	0.001	0.001	0.023	0.011
1.2	0.001	0.001	0.023	0.011

ตารางที่ 2 ตารางคุณสมบัติทางกล

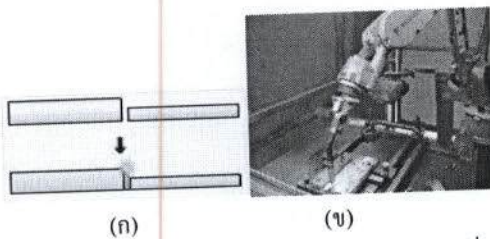
ความหนา (mm.)	ความแข็งแรงดึง		
	YP.(MPa)	TS.(MPa)	EL (%)
1.0	148	282	49
1.2	172	296	51

วัสดุที่ใช้ในการทดลอง คือ แผ่นเหล็กกล้าคาร์บอนต่ำเกรด SPCEN ซึ่งเป็นวัสดุที่นิยมนำมาใช้ในอุตสาหกรรมยานยนต์ ซึ่งมีขนาดในการทดลองคือแผ่นความหนา 1.0 มิลลิเมตร กว้าง 50 มิลลิเมตร ยาว 120 มิลลิเมตร และแผ่นความหนา 1.2 มิลลิเมตร กว้าง 50 มิลลิเมตร ยาว 120 มิลลิเมตร ระยะเยื้องส่วนผสมทางเคมีดังตารางที่ 1 และตารางที่ 2 แผ่นโลหะที่ผ่านการเตรียมถูกนำไปยึดในอุปกรณ์การจับยึดดังแสดงในรูปที่ 1 โดยกำหนดให้แผ่นที่มีความหนากว่าอยู่ที่ด้านซ้ายของตัวท่างการเดินแนวเชื่อม

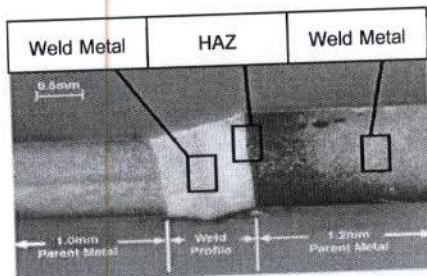
ดังแสดงในรูปที่ 2



รูปที่ 1 การวางแผนบนจักรเชื่อม



รูปที่ 2 (g) การวางแผนชิ้นงานและ (h) ดำเนินหัวเชื่อม



รูปที่ 3 การเตรียมชิ้นงานสำหรับทดสอบความแข็ง

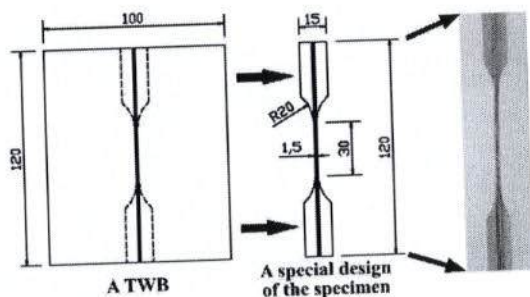
ชิ้นงานถูกทำการเชื่อมโดยวิธีการเชื่อมโดยวิธีการเชื่อมแม็ก (Metal Active Gas: MAG) ด้วยการเชื่อมประกอบด้วย กระแสเชื่อม 60 – 80 A ความเร็วเดินแนวเชื่อม 60 – 70 mm/min แก๊สปักคลุ่มอาร์กอน 80% และคาร์บอน 20% โดยใช้เวลาเชื่อมนานๆ เส้นผ่าศูนย์กลาง 0.9 มิลลิเมตร ตามมาตรฐาน AWS A5.18ER70S-6 รอยต่อการเชื่อมเป็นรอยต่อชน โดยมีลำดับการทดลองตามหมายเลขในตารางที่ 3 หลังจากนั้นทำการวิเคราะห์คุณภาพของงานเชื่อม ดังนี้ การทดสอบความแข็งดึงของแนวเชื่อม (Tensile strength test) โดยทำการเตรียมชิ้นงานสำหรับการทดสอบดังแสดงในรูปที่ 3 ขนาดของชิ้นงานอย่างอิงตามมาตรฐาน ASTM E-8 ใช้ชิ้นงานทดสอบแบบลดขนาด จุดประสงค์เพื่อหาค่าความแข็งดึงของโลหะเชื่อม (Strength of weld) การทดสอบความแข็งดึงในคริวเกอร์ (Vickers micro hardness test) โดยการ



วัดด้วยหัวดูเพอร์ที่มีลักษณะเป็นรูปปีรามิดกคลงไปบนเนื้อโลหะ เชื่อมด้วยแรงกด 500 กิโล ระยะเวลาในการกดซึ่ง 20 วินาที ทำ การวัดที่ปริมาณภาคตัดที่ตั้ง จากกับทิศทางในการเดินแนวเชื่อม ตั้งแต่วัสดุหลักด้านแผ่นบางด้วยเชื่อมไปถึงด้านแผ่นบางด้วย โลหะเชื่อมไปถึงด้านแผ่นหนาดังแสดงในรูปที่ 3

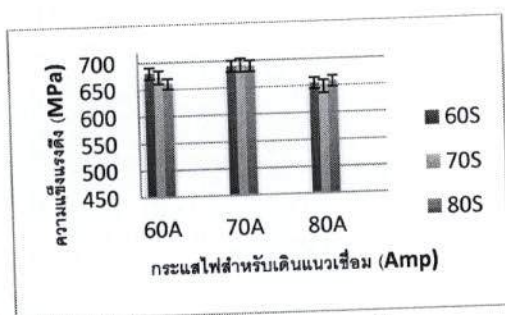
ตารางที่ 3 การออกแบบการทดสอบ

กระแสไฟ (แอมป์)	อัตราเร็วการเดินแนวเชื่อม (mm/min)		
	1	2	3
60	60	70	80
70	60	70	80
80	60	70	80

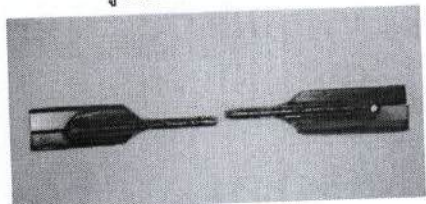


รูปที่ 4 การเตรียมชิ้นงานทดสอบแรงดึง

### 3. ผลการทดสอบและวิเคราะห์

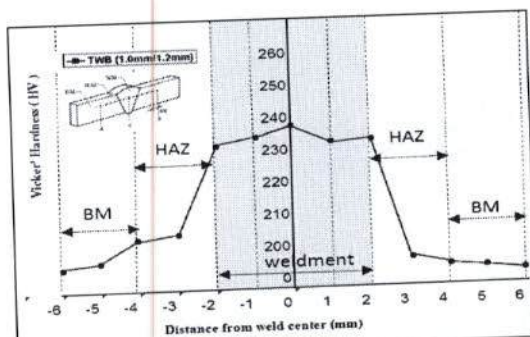


รูปที่ 5 ผลการทดสอบแรงดึง



รูปที่ 6 ชิ้นงานหลังการทดสอบแรงดึง

รูปที่ 5 แสดงชิ้นงานที่ผ่านการทดสอบความแข็งแรงของแนวเชื่อมโดยทำการทดสอบแรงดึง (Tensile Test) ด้วยเครื่องทดสอบ หลังจากนั้นทำการบันทึกผลการทดสอบดังตารางที่ 4 จากผลการทดสอบพบว่า ที่สภาวะการเชื่อมที่ กระแสไฟ 70 แอมป์ร์ ความเร็วในการเดินแนวเชื่อม 70 มิลลิเมตรต่อนาที จะได้ค่าการทดสอบแรงดึงสูงสุดคือ 698.1 MPa และในทางกลับกัน ค่าความแข็งแรงจากการทดสอบแรงดึง ที่มีค่าน้อยที่สุดจะมีสภาวะการเชื่อม ที่กระแสไฟ 80 แอมป์ร์และความเร็วในการเดินแนวเชื่อมที่ระดับ 80 มิลลิเมตรต่อนาทีจากผลการทดสอบจะได้ค่าความแข็งแรงที่ 608.9 MPa ตามลำดับ หลังจากนั้นทำการพิจารณาผลการทดสอบหาค่าความแข็งของชิ้นงานหลังผ่านกระบวนการเชื่อมที่สภาวะต่างๆ ทั้งที่กำหนดไว้ ดังที่แสดงในตาราง ที่ 3 การออกแบบการทดสอบสำหรับการตรวจสอบค่าความแข็งบริเวณจุดต่างๆ ของชิ้นงานที่ผ่านกระบวนการเชื่อม 3 บริเวณ คือ บริเวณเนื้อเชื่อม (Weld metal) บริเวณอิทธิพลความร้อน (Heat affected zone) และบริเวณเนื้อโลหะฐาน (Base metal) ดังแสดงชิ้นงานหลังการทดสอบ ทั้งรูปที่ 9 จากผลการทดสอบพบว่า ค่าความแข็งบริเวณ เนื้อเชื่อม จะมีค่าความแข็งสูงสุด และค่าความแข็งบริเวณอิทธิพลกระแทกร้อน จะมีค่าความแข็งที่ต่ำลงมา ส่วนค่าความแข็งบริเวณเนื้อโลหะของชิ้นงานจะมีค่าความแข็งน้อยที่สุด ดังแสดงในรูปที่ 8 ผลการทดสอบความแข็ง เมื่อพิจารณาบริเวณเนื้อโลหะเชื่อมพบว่า ความแข็งแรงที่ดัดได้มีไก้กันคึ่งกันทั้งด้านทึบช่องทดสอบแผ่นบางและแผ่นหนาในขณะที่ทึบกางของเนื้อโลหะเชื่อมนั้นมีค่าสูงสุด จากข้อมูลความแข็งอาจสรุปได้ว่า ค่าความแข็งของโลหะรอยต่อเทเลอร์ แบล็คของแผ่นโลหะหนา 1.0 และ 1.2 มิลลิเมตร นั้นไม่มีความแตกต่างกัน อ้างอิงก็ตามความมีการศึกษาเพิ่มเติมเฉพาะเนื้อโลหะเชื่อมต่อไป

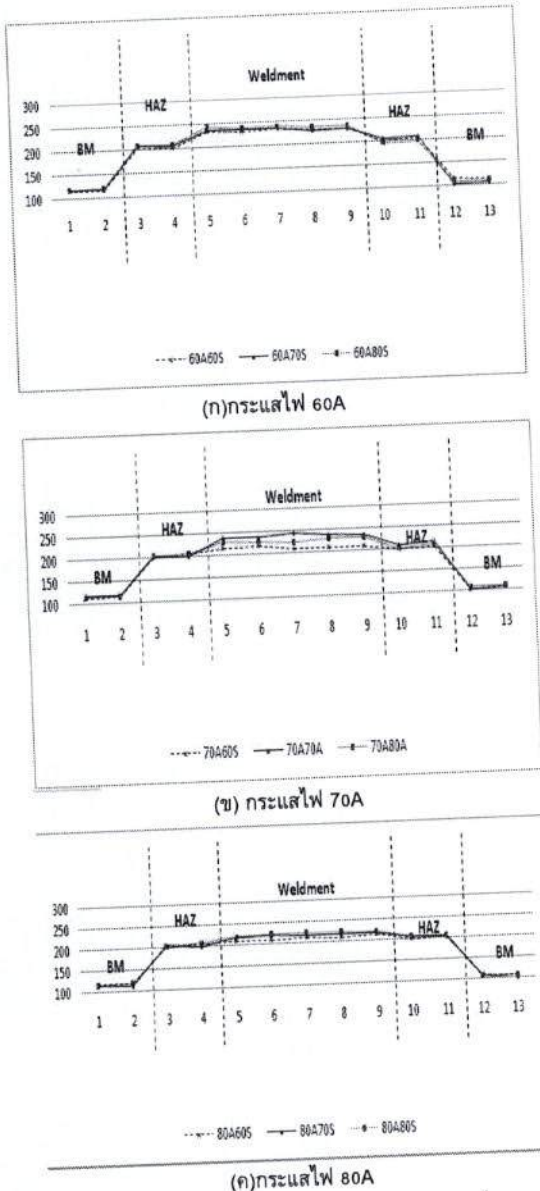


รูปที่ 7 ผลการทดสอบความแข็ง

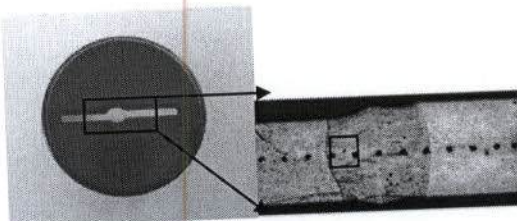
ทำการวิเคราะห์ความแข็งของชิ้นงานทดสอบตามสภาวะต่างๆ ของชิ้นงานหลังจากการเชื่อมแม็กแบบต่อชน พบว่า ที่กระแสไฟในการเชื่อม 70 แอมป์ร์ และความเร็วในการเดินแนวเชื่อมที่ 70 มิลลิเมตรต่อนาที ชิ้นงานจะมีค่าความแข็งสูงที่สุดโดยสรุปคือ ค่าความแข็งบริเวณบริเวณเนื้อเชื่อม(Weld metal) จะมีความแข็งที่ 243.7 และบริเวณอิทธิพลความร้อน (Heat affected zone) จะมีค่าความแข็งที่ 201.3 ส่วนสุดท้ายบริเวณเนื้อโลหะงาน



(Base metal) จะมีค่าที่ 118.3 และค่าสภาวะการเชื่อมที่มีค่าความแข็งน้อยสุดคือการแสไฟในการเชื่อม 80 แอมป์ร์และความเร็วในการเดินแนวเชื่อมที่ 60 มิลลิเมตรต่อนาที ซึ่งค่าความแข็งบริเวณบริเวณเนื้อเชื่อม(Weld metal) จะมีความแข็งที่ 209.3 และบริเวณอิทธิพลความร้อน(Heat affected zone) จะมีค่าความแข็งที่ 204.9 ส่วนสุดท้ายบริเวณเนื้อโลหะงาน(Base metal) จะมีค่าที่ 108.4 ดังแสดงในรูปที่ 8

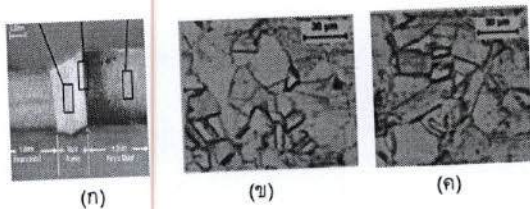


รูปที่ 8 ผลการทดสอบความแข็งตามสภาวะการเชื่อม

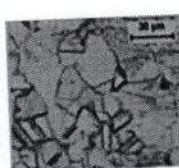


รูปที่ 9 (ก) ขั้นตอนทดสอบความแข็ง (ข) ขั้นตอนหลังจากการทดสอบความแข็งแบบวิกเกอร์ส

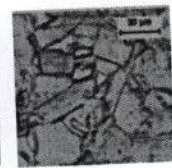
รูปที่ 10 (ก) จะแสดงโครงสร้างมหาภาคที่ดำเนินการต่อไป รูปที่ 10 (ข) โครงสร้างของภาชนะของขั้นตอนบริเวณเนื้อโลหะ ซึ่งจากการตรวจสอบพบว่าโครงสร้างเม็ดเกรนมีรูปร่างที่ไม่เป็นระเบียบและไม่กลมมน รูปที่ 10 (ค) คือข้อมูลระหว่างพื้นที่รับอิทธิพลความร้อน และบริเวณของแนวเชื่อม (Heat Affected Zone: HAZ) จะพบว่า เป็นโครงสร้างที่สมควรกับโครงสร้างที่เกิดขึ้นใหม่ ทำให้บริเวณนี้ ไม่มีความกลมมน แต่โครงสร้างจะมีลักษณะเป็นกรานิตาแทรกเข้าไปในเนื้อโลหะเดิม สำหรับรูปที่ 10 (จ) จะแสดงโครงสร้างบริเวณ กึ่งกลางของแนวเชื่อมซึ่งจะพบว่าลักษณะของเกรนโลหะจะมีการ เรียงตัวกันอย่างสม่ำเสมอมากขึ้นเมื่อเปรียบเทียบกับบริเวณอื่นๆ และมีการบีบอัดตัวของเกรนมากขึ้น และเมื่อนำแนวเชื่อมไป ทดสอบแรงดึง และทดสอบความแข็ง บริเวณนี้จะไม่มีโอกาสเกิด ความเสียหาย และจะมีความแข็งมากกว่าบริเวณอื่น



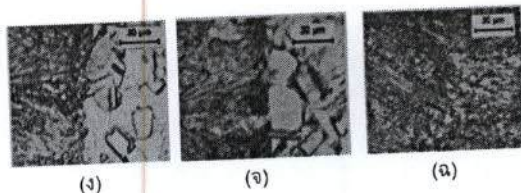
(ก)



(ข)



(ค)



(จ)



(ก)



(ล)

รูปที่ 10 โครงสร้างมหาภาคและจุลภาคของขั้นตอน

(ก) โครงสร้างมหาภาค

(ข) เกรนของแนวเชื่อมบริเวณเนื้อโลหะที่ความหนา 1.0 มม.

(ค) เกรนของแนวเชื่อมบริเวณเนื้อโลหะที่ความหนา 1.2 มม.

(จ) เกรนของแนวเชื่อมที่อยู่ระหว่างของแนวเชื่อมของแนวเชื่อม กับกึ่งกลางแนวเชื่อม ที่ความหนา 1.0 มม.

(ล) เกรนของแนวเชื่อมที่อยู่ระหว่างของแนวเชื่อมของแนวเชื่อม กับกึ่งกลางแนวเชื่อม ที่ความหนา 1.2 มม.

(ก) เกรนของแนวเชื่อมที่อยู่กึ่งกลางแนวเชื่อม



#### 4.สรุปผลการทดลอง

สำหรับงานวิจัยในครั้งนี้ผู้วิจัยได้ทำการประยุกต์การเชื่อมแม็ก ในการเชื่อมแบบต่อชนวนอย่างต่อชนวนแผ่นเกลอลอร์เบลลงค์ สำหรับเหล็กกล้าคาร์บอนเกรด SPCEN ที่มีความหนาของชิ้นงานทดลองที่ 1.0 มิลลิเมตร และ 1.2 มิลลิเมตร และทำการศึกษาหา สภาวะต่างๆที่เหมาะสมสำหรับการเชื่อมคือ กระแสไฟที่เหมาะสม สำหรับการเดินแนวเชื่อม และค่าความเร็วที่เหมาะสม ที่มีผลต่อ คุณภาพและสมบัติทางกลของชิ้นงานหลังจากผ่านกระบวนการ เชื่อม จากผลการทดลองสามารถสรุปได้ว่า รอยต่อชนวนแผ่นเกลอลอร์เบลลงค์สามารถทำการเชื่อมได้อย่างมีประสิทธิภาพด้วยการ เชื่อมแม็ก ที่สภาวะการเชื่อมที่เหมาะสมระหว่างความเร็วในการ เชื่อม และกระแสไฟ ชิ้นงานหลังการเชื่อมสามารถที่จะทดสอบได้ สูงสุดที่ 698.1 MPa และสามารถที่จะรับ แรงดันได้ที่ 243.7 โดยการ เชื่อมที่ใช้กระแสไฟ 70 แอมป์ร์ และ ความเร็วในการเชื่อมที่ 70 มิลลิเมตรต่อนาที ซึ่งหลังจากการทดลองในครั้งนี้สามารถที่จะสรุปได้ว่า กระแสไฟ และ ความเร็วในการเชื่อมจะมีผลกระทบต่อคุณภาพ ของงานเชื่อม

#### กิตติกรรมประกาศ

งานวิจัยนี้ได้รับทุนสนับสนุนการวิจัยประจำปี 2554 จาก มหาวิทยาลัยเทคโนโลยีราชมงคลธัญบุรี

#### เอกสารอ้างอิง

- [1] Kimapong K. and Watanabe T. 2004. Friction Stir Welding of Aluminum Alloy to Steel. *Welding Journal*, 83-10:277s-282.
- [2] Brandon D. and Kaplan W.D. *Joining Processes: An introduction*. 1997. John Wiley & Sons Ltd. New York. 1-12.
- [3] ธรรมนูญ อินทรพล, กิตติพงษ์ กิมพงษ์ 2551. อิทธิพลของ ตัวแปรการเชื่อมเลเซอร์ต่อสมบัติทางกลของรอยต่อชนวนแผ่น เทเลอร์เบลลงค์เหล็กเคลือบสังกะสีเกรด SGACD. การประชุม วิชาการทางวิศวกรรมศาสตร์, มหาวิทยาลัยสงขลานครินทร์ 8-9 พฤษภาคม 2551.
- [4] กระบวนการผลิตชิ้นส่วนยานยนต์,,<http://22subtaweetradin g.igetweb.com/index.php?mo=14&newsid=33267>(Online) ,2008. Available:<http://www.subtaweeTrading.igetweb.com> ,(15 พฤษภาคม 2550)
- [5] ยงบุตร ดุลยฤทธิ์, ประภาท เมืองจันทร์บุรี 2551. ศึกษา โครงสร้างทางโลหะวิทยาและสมบัติทางกลของการเชื่อม เหล็กกล้าคาร์บอนด้วยกระแสไฟฟ้าและส่วนผสมของแก๊สคลุ่ม ที่แตกต่างกัน โดยวิธีการเชื่อมแม็ก. มหาวิทยาลัยสงขลา นครินทร์ 8-9 พฤษภาคม 2551.
- [6] อนุสิทธิ์ อ่าไพบูลย์. ปัจจัยที่เหมาะสมของการเชื่อมแบบอาร์ค โลหะก้าวคุณ. มหาวิทยาลัยเทคโนโลยีราชมงคลธัญบุรี วิทยา เอกชั่นแก่น. การประชุมวิชาการข่ายงานวิศวกรรม อุตสาหกรรมอุตสาหการ, ภูเก็ต, ประเทศไทย, 24-26 ตุลาคม 2550.
- [7] อนุสิทธิ์ อ่าไพบูลย์, วิทยา อินทร์สอน, พรชัย ฉัตรชัยวัฒนา 2551. การหาสภาวะที่เหมาะสมของเงื่อนไขการเชื่อมแบบ แม็กอัม. การประชุมวิชาการข่ายงานวิศวกรรมอุตสาหกรรม มหาวิทยาลัยขอนแก่น 20-22 ตุลาคม 2551.
- [8] ยุคล จุลอุทัย 2551. เทคนิคโนโลยีการเชื่อมแม็ก/แม็ก ฟลักช์คอร์ เล่ม 1. พิมพ์ที่ ศูนย์พัฒนาการเรียน มหาวิทยาลัยเทคโนโลยี พระจอมเกล้าพระนครเหนือ, กรุงเทพมหานคร
- [9] มนัสศิษฐ์ พิมพ์สาร (2542). การเชื่อม MIG-MAG. กรุงเทพมหานคร. เอ็มแอนด์ดี.
- [10] C.H.Cheng,M.Jie,L.C.Chan,C.L.Chow.,True stress-strain analysis on weldment of heterogeneous tailor-welded blank-a novel approach for forming simulation. International Journal of Mechanical Sciences 49 (2007) 217-229

